

**Ο ΜΑΓΝΗΤΟΠΥΡΙΤΗΣ ΤΟΥ ΛΑΥΡΙΟΥ**  
**ΣΕ ΣΥΣΧΕΤΙΣΗ ΜΕ ΤΗ ΜΕΤΑΛΛΟΓΕΝΕΣΗ ΤΗΣ ΛΑΥΡΕΩΤΙΚΗΣ**  
**ΚΑΙ ΣΕΡΙΦΟΥ**

ΥΠΟ ΔΗΜ. ΚΙΣΚΥΡΑ\*

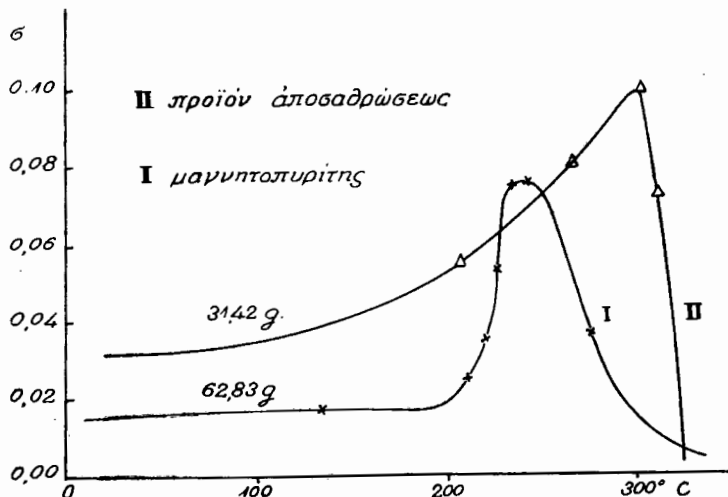
Στὴν περιοχὴ τοῦ Λαυρίου μεταξὺ τῶν ἄλλων μεταλλοφόρων ὁρυκτῶν συναντᾶται καὶ μαγνητοπυρίτης, ἵδια στὴν περιοχὴ τῆς Πλάκας κοντὰ στὴν ἐμφάνιση τοῦ γρανοδιορίτη. Ὁ ΜΑΡΙΝΟΣ (13 καὶ 14) ποὺ ἐμελέτησε τὴν περιοχὴ αὐτὴ ἀπὸ πετρολογικὴ καὶ κοιτασματολογικὴ ἀποψη μιλεῖ γιὰ μεταμόρφωση ἔξι ἐπαφῆς τῶν μαρμαρυγιακῶν σχιστολίθων τῆς περιοχῆς Πλάκας σὲ ἀσβεστοῦχο κερατίτη (πλακίτη) καὶ μετατροπὴ τοῦ σιδηροπυρίτη ποὺ ὑπῆρχε μέσαι στοὺς σχιστολίθους ἀπὸ προηγούμενη μεταλλοφορία σὲ μαγνητοπυρίτη. Τὴν ἐκδοχὴν αὐτὴν στηρίζει κυρίως στὴν παρατήρηση, διτὶ τὸ θειοῦντο μετάλλευμα ποὺ βρίσκεται πολὺ κοντὰ στὴ γρανιτικὴ μᾶξα εἶναι μαγνητοπυρίτης, ἐνῶ πιὸ μακρὺν τὸ μετάλλευμα διαφέρει ἀπὸ τὸ μαγνητοπυρίτη καὶ μοιάζει, τοῦ σιδηροπυρίτη σὲ διτὶ ἀφορᾶ τὸ χρῶμα, σκληρότητα καὶ εἰδικὸ βάρος. Ἐπίσης στὸ διτὶ δποὺ τὸ ὑλικὸ αὐτὸ μοιάζει τοῦ σιδηροπυρίτη στὸ χρῶμα καὶ στὶς χημικὲς ἀντιδράσεις, ὅχι δμως στὴ σκληρότητα, εἶναι ἀρκετὰ μαγνητικό.

“Οπως ἀναφέρεται σὲ παλαιότερη ἑργασίᾳ (7), ἡ μικροσκοπικὴ ἐξέταση σὲ μεταλλογραφικὸ μικροσκόπιο δειγμάτων ἀπὸ τὸ μαγνητικὸ ὁρυκτὸ τοῦ Λαυρίου ποὺ μοιάζει μὲ σιδηροπυρίτη ἔδειξε διτὶ ἐδῶ δὲν προκειται γιὰ σιδηροπυρίτη ἀλλὰ γιὰ ἔνα ἐνδιάμεσο προϊὸν ἀποσαμρώσεως τοῦ μαγνητοπυρίτη. Κατὰ τὴν ἀποσαμρώση αὐτὴν ὅξειδοῦται ἔνα μέρος τοῦ σιδήρου καὶ ἀπομακρύνεται σὲ μορφὴ διαλύματος (18) διπότε αὐξάνει ἡ περιεκτικότητα τοῦ ἀποσαμρωμένου μαγνητοπυρίτη σὲ θειάφι, ὥστε νὰ παρουσιάζῃ περίπου τὴ χημικὴ σύσταση τοῦ σιδηροπυρίτη ἡ μαρκασίτη μὲ τὰ δποῖα πολλὲς φορὲς γίνεται σύγχυση (22 καὶ 23). Ἡ μαγνητικὴ ἐπίσης ἐξέταση τοῦ ὑλικοῦ αὐτοῦ ἔδειξε, διτὶ ἐδῶ δὲν πρόκειται γιὰ σιδηροπυρίτη ἀλλὰ γιὰ ἔνα μαγνητοπυρίτη πολὺ πλούσιο σὲ θειάφι. Ἐδῶ θὰ ἐξετασθοῦν αἱ συνηῆκες σχηματισμοῦ τοῦ μαγνητοπυρίτη τοῦ Λαυρίου μὲ βάση τὶς μαγνητικές του ἴδιότητες καὶ τὴ μικροσκοπικὴ διερεύνηση δειγμάτων αὐτοῦ, δπως ἐπίσης τὸ ζήτημα τῆς προελεύσεώς του σὲ συνδυασμὸ μὲ τὴ μεταλλογένεση γενικὰ τῆς Λαυρεωτικῆς καὶ Σερίφου.

\* KISKYRAS, D.— Der magnetkies von Lavrion in Beziehung auf die Erzbildung von Lavriotiki und Insel Seriphos.

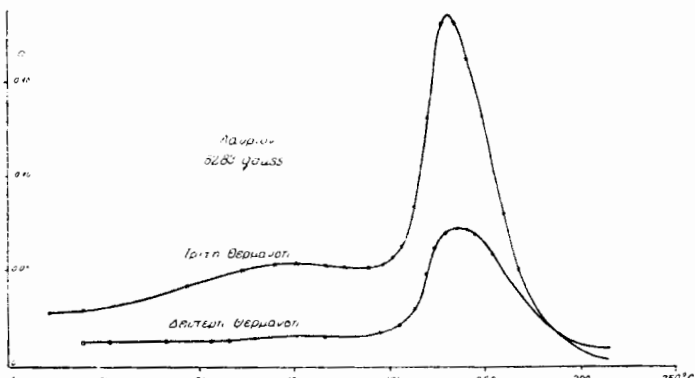
## Α. ΜΑΓΝΗΤΟΠΥΡΙΤΗΣ

**Η Μαγνητική έρευνα.** Ό μαγνητοπυρίτης της Πλάκας Λαυρίου (γεώτρηση Κουρόδρας) με μικρή περιεκτικότητα σε θειάφι, FeS<sub>1.105</sub>, παρουσιάζει μικρή μαγνητική έπιδεξικότητα, μεγάλη συνεκτική δύναμη, χα-



**Σχ. 1.** Θερμομαγνητικά διαγράμματα. I μαγνητοπυρίτης Λαυρίου. II ένδιαμεσον προϊὸν ἀποσαθρώσεως αὐτοῦ.

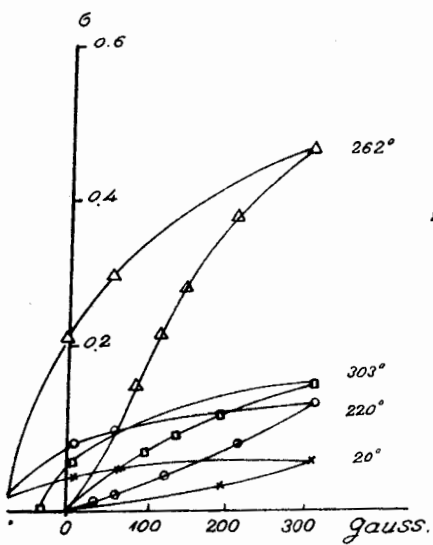
μηλό σημείο Curie, γύρω στους 280° C, και μαγνητικές μετατροπές σε νψηλές θερμοκρασίες. Γιατί τὸ λόγο αὐτὸ κατατάσσεται στους μαγνητοπυρίτες α—τύπου ποὺ σχηματίσθησαν σὲ νψηλές θερμοκρασίες και πιέσεις (ἀλλὰ μέτριες χωριστές πιέσεις θειαφιού) δηλας είναι οι μαγματικοί, πη-



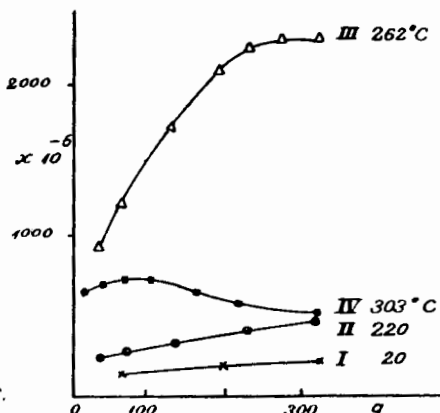
**Σχ. 2.** Μαγνητικά διαγράμματα σὲ διαδοχικές θερμάνσεις. Ψηφιακή Βιβλιοθήκη "Θεόφραστος" - Τμήμα Γεωλογίας. Α.Π.Θ.

γματιτικοί καὶ πνευματολυτικοί σχηματισμοί, ἐπίσης σὲ κοιτάσματα ἐπαφῆς (8). Τούναντίον οἱ μαγνητοπυρίτες β—τύπου εἶναι πλουσιώτεροι σὲ θειάφι, σχηματίσθησαν σὲ χαμηλότερη θερμοκρασία καὶ πίεση (συνήθως ὑδροθερμικοί) εἶναι περισσότερο μαγνητικοί, ἔχουν ὑψηλότερο CP, γύρω στοὺς  $320^{\circ}$  C, καὶ δὲν παρουσιάζουν μαγνητικές μετατροπές ὅταν θερμανθοῦν.

Ἄπὸ τὸ σχ. 1 φαίνεται ὅτι τὸ ἐνδιάμεσο προϊὸν ἀποσαθρώσεως τοῦ μαγνητοπυρίτη τῆς Πλάκας — Λαυρίου πρέπει νὰ καταταχθῇ στοὺς μαγνητοπυρίτες β—τύπου. Στὸ σχ. 2 διαχρίνονται οἱ μαγνητικές μετατροπές τοῦ μαγνητοπυρίτη Λαυρίου, ἡ γ—μετατροπὴ μεταξὺ  $220$ — $240^{\circ}$  C καὶ ἡ δ—μετατροπὴ μετὰ τὴν τρίτη θέρμανση τοῦ μεταλλεύματος σὲ θερμοκρα-



**Σχ. 3.** Βρόχοι μαγνητικῆς ὑστερήσεως σὲ διάφορες θερμοκρασίες (Μαγνητοπυρίτης Λαυρίου).



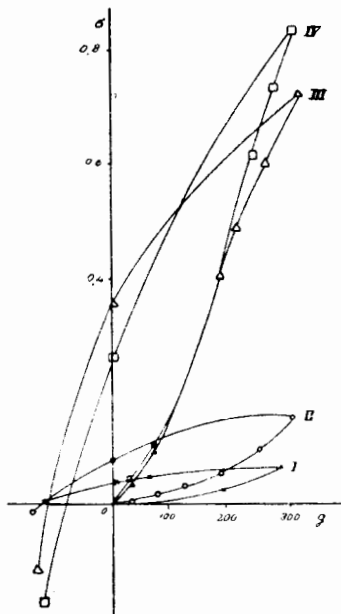
**Σχ. 4.** Μαγνητικές ἐπιδεκτικότητες σὲ διάφορες θερμοκρασίες. (Μαγνητοπυρίτης Λαυρίου).

σία  $120$ — $160^{\circ}$  C. Ἐνδιαφέροντα εἶναι ἡ γ—μετατροπὴ γιατὶ χάρη σὲ αὐτὴ ἡ παραμαγνητικὴ α—μορφὴ τοῦ μαγνητοπυρίτη μεταπίπτει στὴ σιδηρομαγνητικὴ β—μορφὴ, ποὺ διατηρεῖται κατόπι καὶ σὲ χαμηλές θερμοκρασίες. Τὴν ἐπίδραση τῆς γ—μαγνητικῆς μετατροπῆς βλέπει κανεὶς καὶ στὰ σχ. 3 καὶ 4 ὅπου δίδονται βρόχοι μαγνητικῆς ὑστερήσεως σὲ διάφορες θερμοκρασίες. Ἐπειτα ἀπὸ τὴν ψύξη τῶν δειγμάτων πάρθηκαν νέοι βρόχοι ὑστερήσεως, ποὺ παριστάνονται στὸ σχ. 5. Ἐδῶ φαίνεται, ὅτι τὶς μαγνητικές ἰδιότητες ποὺ ἀπέκτησε ὁ μαγνητοπυρίτης στὶς ὑψηλές θερμοκρασίες τὶς διετήρησε καὶ μετὰ τὴν ψύξη του, φαίνεται ἀκόμη ὅτι ὁ μαγνητοπυρίτης τοῦ Λαυρίου ἐπειτα ἀπὸ κάθε θέρμανση γίνεται πιὸ μαγνητικός, ποὺ σημαίνει ὅτι στὴν πρώτη θέρμανση δὲν μετατράπηκε ὅλη ἡ ποσότητα

τοῦ μαγνητοπυρίτη στὴ b—σιδηρομαγνητικὴ μορφὴ ἀλλὰ μόνον ἐνα μέρος. Μετὰ τὴν τελευταία θέρμανση ποὺ πέρασε τὴ θερμοκρασία Curie, δι μαγνητοπυρίτης τοῦ Λαυρίου ἔγινε ἀφετὰ σιδηρομαγνητικός. Στὴν καμπύλη IV διαχρίνεται, ἐκτὸς ἀπὸ τὴν ὑψηλὴ μαγνητικὴ ἐπιδεκτικότητα, δι μικρὸς παραμένων μαγνητισμὸς καὶ ἡ μικρὴ συνεκτικὴ δύναμη. Στὶς περιπτώσεις αὐτὲς σ παριστᾶ τὴν εἰδικὴ μαγνήτιση δηλ.  $\sigma = M/m$  δπον  $M$  ἡ μαγνητικὴ ροπὴ τοῦ ἔξεταζομένου μαγνητικοῦ σώματος καὶ  $m$  ἡ μάζα του, τὸ δὲ  $\chi$  τὴ μαγνητικὴ ἐπιδεκτικότητα μάζας δηλ.  $\chi = \sigma/H - NJ$ , δπον  $H$  ἡ ἔνταση τοῦ χονσιμοποιουμένου μαγνητικοῦ πεδίου,  $N$  δι συντελεστὴς ἀπομαγνητίσεως καὶ  $J$  ἡ ἔνταση μαγνητίσεως.

‘Απ’ αὐτὰ μπορεῖ κανεὶς δύο πράγματα νὰ συμπεράνῃ, εἴτε ὅτι δι μαγνητοπυρίτης τοῦ Λαυρίου σχηματίσθηκε σὲ ὑψηλὲς θερμοκρασίες χωρὶς ὅμως ἀπὸ τὸ σχηματισμό του καὶ δῶθε νὰ ξαναθεῷ μάνθηκε πάνω ἀπὸ 280° C ποὺ εἶναι τὸ CP αὐτοῦ, γιατὶ θὰ ἔπρεπε τότε νὰ δείχνη σιδηρομαγνητικὲς ίδιότητες καὶ νὰ μὴ παρουσιάζῃ τὴν γμετατορπὴ δπως τοῦτο συμβαίνει σὲ ὑπερθερμανθέντες μαγνητοπυρίτες, εἴτε ὅτι δι μαγνητοπυρίτης τοῦ Λαυρίου σχηματίσθηκε σὲ χαμηλὲς θερμοκρασίες (βιτύπος, ὑδροθερμικῆς προελεύσεως) καὶ ἀργότερα θεῷ μάνθηκε ἀπὸ τὸ γρανοδιορίτη πάνω ἀπὸ 325° C, ὥστε νὰ φύγη ἐνα μέρος τοῦ S καὶ νὰ μειωθοῦν οἱ μαγνητικές του ίδιότητες, νὰ μετατραπῇ δηλ. βαθμιαῖα στὴν παραμαγνητικὴ μορφὴ, μὲ χαμηλὸ σημεῖο Curie, στὴν περίπτωση ὅμως αὐτὴ θὰ ἔπρεπε νὰ ἔχῃ παραγένεση καὶ ἄλλα ὑδροθερμικὰ ὄφυτά δπως γαληνίτη καὶ σφαλερίτη, ποὺ δπως θὰ δοῦμε πιὸ κάτω δὲν παρατηθήκαν.

**Μικροσκοπικὴ ἔρευνα.** Ἀπὸ τὴν ἔξεταση σὲ μεταλλογραφικὸ μικροσκόπιο δειγμάτων μαγνητοπυρίτη ἀπὸ τὸ Λαύριο προέκυψε, ὅτι αὐτὰ ἀποτελοῦνται κυρίως ἀπὸ λεπτόκοκκο μαγνητοπυρίτη μέσα στὸν δποῖο βρίσκονται καὶ κόκκοι χαλκοπυρίτη. Ὁ μαγνητοπυρίτης παρουσιάζεται σὲ διδύμους κρυστάλλους καὶ δείχνει μία ἀνακρυστάλλωση, ποὺ ἀφίνει νὰ νοηθῇ ὅτι κατὰ κάποιο τρόπο ἔχει κομματιασθεῖ καὶ μετακινηθεῖ. Τὸ στενὸ τους ὄλικό, ποὺ ἔξετασθη σὲ διαφανῆ παρασκευάσματα παρουσιάζει την τύπωση της μαγνητικῆς έρευνας.



Σχ. 5. Βρόχοι μαγνητικῆς έρευνας. I πρὸν ἀπὸ τὴ θέρμανση. II, III καὶ IV ἔπειτα ἀπὸ τὴ θέρμανση, σὲ 230° C, 262° C καὶ 313° C. (Μαγνητοπυρίτης Λαυρίου).

σιάζει δύψη μικρολατυποπαγοῦς καὶ ἀποτελεῖται ἀπὸ ἐπίδοτο καὶ χαλαζία μὲ συνδετικὴ ὕλη ἀπὸ σερικίτη. Ἐδῶ παρατηροῦνται ἀκόμα πεννίνης καὶ γραφιτοειδῆς, ἐπίσης φλεβίδια ἀπὸ χαλαζία καὶ ἀσβεστίτη.

Ἐνδιαφέρο παρουσιάζει τὸ γεγονός, ὅτι ἐδῶ ἀπουσιάζουν τὰ ἄλλα θειοῦχα ὁρυκτά, ὅπως σιδηροπυρόίτης, σφαλερόίτης καὶ γαληνίτης, ἐπίσης τὰ ὀξείδια σιδήρου μαγνητίτης καὶ αἰματίτης. Ἡ ἀπουσία σφαλερόίτη καὶ γαληνίτη δηλοῦ, ὅτι ὁ μαγνητοπυρίτης αὐτὸς δὲν σχηματίσθηκε σὲ χαμηλὲς θερμοκρασίες ὅπως τὰ δύο αὐτὰ ὁρυκτά. Κατὰ τὸν VOGT (25, 600) ὁ σφαλερόίτης εἶναι πιὸ διαλυτὸς ἀπὸ τὸ μαγνητοπυρίτη σὲ πυριτικὰ τήγματα καὶ γι’ αὐτὸν δὲν ἀποβάλλεται σὲ ὑψηλὲς θερμοκρασίες. Ἀλλὰ καὶ ὁ γαληνίτης καὶ ἀρσενοπυρίτης συγκεντρώνονται στὰ τελευταῖα μαγματικὰ προϊόντα. Ἡ ἀπουσία ἐπίσης σιδηροπυρίτη ἀπὸ τὰ δείγματα αὐτὰ μαγνητοπυρίτη εἶναι ἐνδεικτικὸ κάπως σημεῖο, ὅτι ὁ μαγνητοπυρίτης τοῦ Λαυρίου σχηματίσθηκε σὲ ὑψηλὴ θερμοκρασία, ἀλλωστε ἔχει παρατηρηθεῖ ὅτι οἱ μαγνητοπυρίτες τοῦ τύπου—α, ὅπως αὐτὸς τοῦ Λαυρίου, στεροῦνται σιδηροπυρίτη, στὴν περίπτωση δὲ ποὺ περιέχουν αὐτὸν πρόκειται ἔκει γιὰ δευτερογενὴ σχηματισμό. Ἡ διάλυση FeS βρίσκεται σὲ ἰσορροπία μὲ τὸ μάγμα πρὸν ἀρχίσει ἡ στερεοποίησή του, καὶ ἔτσι ἀρχίζει νὰ ἀποβάλλεται ἀμέσως στὰ πρῶτα θειοῦχα ὁρυκτά, ἐνῷ ἡ διάλυση FeS διατηρεῖ τὴν ἰσορροπία της καὶ σὲ μεταμαγματικὰ στάδια (25, 596).

Ἡ ἀπουσία ὀξειδίων σιδήρου, μαγνητίτη καὶ αἰματίτη εἶναι συνηθισμένο ὥραινόμενο σὲ θειοῦχες μεταλλοφόρες διαπλάσεις, γιατὶ ἔκει ἡ παρουσία τῶν θειούχων διαλύσεων δημιουργεῖ ἀναγωγικὸ περιβάλλον ποὺ ἐμποδίζει τὴν ὀξείδωση. Ἔτσι πολλὲς φορὲς ἔχει παρατηρηθῆ μία ἀντιπάθεια μεταξὺ ὀξειδίων σιδήρου καὶ σουλφιδίων γενικῶς ποὺ κατὰ τὸν GILBERT (4) εἶναι πιὸ ἔντονη μεταξὺ μαγνητοπυρίτη καὶ αἰματίτη.

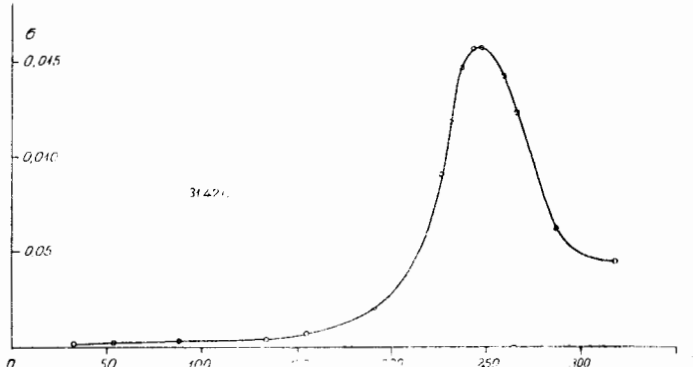
Τὸ συμπέρασμα λοιπὸν τῆς μικροσκοπικῆς ἔξετάσεως σὲ συνδυασμὸ μὲ τὴ μαγνητική, εἶναι ὅτι ὁ μαγνητοπυρίτης τῆς Πλάκας σχηματίσθηκε σὲ ὑψηλότερη θερμοκρασία ἀπὸ τὰ ἄλλα θειοῦχα ὁρυκτά τῆς περιοχῆς τοῦ Λαυρίου. Ἐπομένως δὲν πρόκειται ἐδῶ γιὰ ὑδροθερμικὸ σχηματισμὸ προγενέστερο ἀπὸ τὸν γρανοδιορίτη ποὺ ἀλλοιώθηκε κοντά στὸ μάγμα ἀπὸ ὑπερθέρμανση, ἀλλὰ γιὰ πνευματολυτικὸ σχηματισμὸ γύρω ἀπὸ τὸ γρανοδιορίτη. Ἡ ἀνακρυστάλλωση ποὺ παρουσιάζει τὸ ὁρυκτὸ αὐτὸν δὲν σημαίνει ὅτι εἶναι προγενέστερος σχηματισμὸς ἀπὸ τὴν ἀνοδὸ τοῦ γρανοδιορίτη γιατὶ ἐφ’ ὅσον ὁ μαγνητοπυρίτης κρυσταλλώθηκε μέσα σὲ πετρώματα ποὺ ἀρχισαν ἀμέσως μὲ τὴν ἀποβολὴ τοῦ ὁρυκτοῦ αὐτοῦ νὰ μεταμορφώνονται, ἥταν φυσικὸ νὰ ὑποστῇ καὶ αὐτὸς ἔνα ἀνακάτωμα καὶ μετάθεση τῶν κρυστάλλων του, ὅπως συμβαίνει στὶς μεταμορφώσεις καὶ ἰδιαίτερα τῆς ἐπαφῆς (19), ὁ μαγνητοπυρίτης ἀλλωστε ἀνακρυστάλλωνται εὐκολώτερα ἀπὸ πολλὰ ἄλλα ὁρυκτά (22, 54). Τὸ ὅτι τὸ στενὸ ὄλικὸ τοῦ μεταλλεύματος ἀπὸ μαγνητοπυρίτη παρουσιάζει δύψη μικρολατυποπαγοῦς, ἀφίνει νὰ ὑποθέσουμε ὅτι ἡ περιοχὴ αὐτὴ ὑπέστη τὴν ἐπίδραση ὁρογενετικῶν πιέσεων καὶ Ψηφιακή Βιβλιοθήκη "Θεόφραστος" - Τμήμα Γεωλογίας. Α.Π.Θ.

μετὰ τὴν ἄνοδο τοῦ γρανοδιοφύτη. Οἱ πιέσεις αὐτὲς ἡσαν ἀσθενεῖς γιατὶ δὲν κατώρθωσαν νὰ διαρρήξουν τὸν ἀνθεκτικότατο γρανοδιοφύτη, θρυμμάτισαν δικαὶα τὸν πλακίτη ὥστε νὰ ἀποτεθοῦν ἀργότερα μέσα στὰ σπασίματα αὐτοῦ ὑδροθεραικὰ δρυκτά.

Ἐπειτα ἀπ’ αὐτὰ δὲν δικαιολογεῖται ἡ ἔκδοχή, ὅτι ὁ μαγνητοπυρίτης ποὺ βρίσκεται μέσα στὸν πλακίτη τοῦ Λαυρίου ἔχει προέλθει ἀπὸ θέρμανση προϋπάρχοντος σιδηροπυρίτη. Ἡ μετατροπὴ τοῦ σιδηροπυρίτη σὲ μαγνητοπυρίτη κατορθώθηκε στὸ ἐργαστήριο στοὺς 574° C, ἐνῷ τὸ ἀντίστροφο στοὺς 550° C. Στὴ βιβλιογραφία ἀναφέρεται ἀκόμη ὅτι σὲ πίεση μιᾶς ἀτμοσφαίρας ἡ μετατροπὴ τοῦ σιδηροπυρίτη σὲ μαγνητοπυρίτη γίνεται στοὺς 610° C (3, 156). Αὐτὸ δικαὶος δὲν σημαίνει ὅτι οἱ ἀντιδράσεις αὐτὲς προχωροῦν διάτελα ἀπεριόδιστα στὴ φύση. Ἀπόδειξη γι’ αὐτὸ εἰναι, ὅτι ὁ ALLEN καὶ οἱ συνεργάτες του δὲν μπόρεσαν νὰ βροῦν στὴ φύση φανερὰ δείγματα μετατροπῆς σιδηροπυρίτη σὲ μαγνητοπυρίτη, ἐστηρίχθησαν μονάχα στὴν παρατήρηση ὅτι στὴν ἄλιο μεταμορφώσεως παρουσιάζεται πολὺ συντὸν μαγνητοπυρίτης ἐνῷ ὁ σιδηροπυρίτης σὲ κάποια σχετικὴ ἀπόσταση. Αὐτὸ δικαὶος δὲν σημαίνει ὅτι ὁ μαγνητοπυρίτης σχηματίσθηκε ὑποχρεωτικὰ ἀπὸ σιδηροπυρίτη, δηλοῦ μονάχα ὅτι ὁ μαγνητοπυρίτης αὐτὸς θὰ σχηματίσθηκε σὲ ὑψηλὴ θερμοκρασία. Στὴ φύση μόνο σὲ λίγες περιπτώσεις καὶ μάλιστα σὲ πολὺ περιωρισμένη κλίμακα παρατηρήθηκε σίγουρη μετατροπὴ σιδηροπυρίτη σὲ μαγνητοπυρίτη. Στὸ Bühl (Kassel τῆς Γερμανίας) π. χ. βρέθηκαν μέσα σὲ πλαγιοκλαστικὸ βασάλτη πολὺ μικρὰ κομμάτια μαγνητοπυρίτη (ἐναλλογενὲς ἔγκλεισμα) ποὺ σχηματίσθηκε κατὰ ἓνα τρόπο ἀπὸ κάψιμο σιδηροπυρίτη (20). Κάτι ἀνάλογο παρουσιάζουν καὶ μερικοὶ μεμονωμένοι κρύσταλλοι μαγνητοπυρίτη σὲ μεταμορφώσιγενεῖς σχιστολίθους ἐπαφῆς, ὅπου ὁ σιδηροπυρίτης παρουσιάζεται σὲ κάποια ἀπόσταση ἀπὸ τὴν ἄλιο μεταμορφώσεως. Ὅμοια προέλευση ἔχουν καὶ οἱ κόνδυλοι μαγνητοπυρίτη ποὺ βρέθηκαν μέσα σὲ γνεύσιους, πλούσιους σὲ ἀνθρακικὰ δρυκτά, καὶ ποὺ στὸ μέσο τους παρουσιάζουν κανονικὰ ἓνα μικρὸ κρύσταλλο σιδηροπυρίτη (6). Ἐπειτα ἀπὸ αὐτὰ διερωτᾶται κανεῖς, πῶς εἶναι δυνατὸ νὰ ἔχῃ μετατραπεῖ τόσο πολὺς σιδηροπυρίτης στὴν Πλάκα σὲ μαγνητοπυρίτη, ὥστε νὰ παρουσιάζεται σὲ διαστρώσεις καὶ κούτες μὲ πάχος ἀρκετῶν μέτρων (13, 88) καὶ μάλιστα ἔξω ἀπὸ τὸ γρανοδιοφύτη, χώρια ποὺ διπλαὶ δοῦμε πιὸ κάτω αὐτὸς δὲν ἔταιναν καὶ ἀρκετὰ θερμός. Ἀλλὰ καὶ τὸ ὑψος τῆς μαγνητικῆς ἐπιδεκτικότητας τοῦ μαγνητοπυρίτη τῆς Πλάκας σὲ σύγκριση μὲ τὶς μαγνητικὲς τιμές ἄλλων μαγνητοπυριτῶν ἀποκλείει μιὰ τέτοια προέλευση, διπλαὶ φαίνεται στὸν πιὸ κάτω πίνακα.

Ο μαγνητοπυρίτης τοῦ Bühl εἶναι διάτελα παραμαγνητικὸς καὶ μόνον ἐπειτα ἀπὸ θέρμανση πάνω ἀπὸ 240° C ἀποκτᾶ ἀσθενεῖς μαγνητικὲς ίδιότητες (8). (Βλέπε καὶ σχ. 6). Ἀπὸ τὸν πίνακα I βλέπει κανεῖς πῶς αὐξάνει ἡ μαγνητικὴ ἐπιδεκτικότητα τῶν μαγνητοπυριτῶν μὲ ἐλάττωση τῆς θερμοκρασίας καὶ πιέσεως σχηματισμοῦ των. Ο μαγνητοπυρίτης τοῦ Φηφατικῆς Βιβλιοθήκης Θεόφραστος - Τμῆμα Τεωλογίας Α.Π.Θ.

Λανγίου παίρνει ένδιαμεση θέση μεταξύ τῶν τυπικῶν πνευματολυτικῶν ἐπαφῆς καὶ τῶν ὑπερθερμανθέντων ὑδροθερμικῶν, ἀνήκει δηλαδὴ καὶ αὐτὸς στοὺς α-μαγνητοπυρίτες. Ἐδῶ δὲν ἀναγράφονται οἱ μαγνητοπυρίτες τοῦ



**Σχ. 6.** Θερμομαγνητικό διάγραμμα μαγνητοπυρίτη, ποὺ προήλθε ἀπὸ σιδηροπυρίτη λόγῳ ὑπερβολικῆς τοῦ θερμάνσεως. (Bühl—Kassel, Γερμανίας).

### Π Ι Ν Α Κ Α Σ Ι

Μαγνητική ἐπιδεκτικότητα μαγνητοπυρίτων μὲ διαφορετική προέλευση καὶ τρόπο σχηματισμοῦ σὲ μαγνητικὸ πεδίο ἐντάσεως 62,5 GAUSS

Π ρ ο έ λ ε υ σ η	Ε ι δ ο σ σ χ η μ α τ i σ μ o ū	χ. 10 <sup>-6</sup>
Bühl (Kassel) Γερμανίας	Σὲ βασάλτη ἀπὸ μεταρροπὴ σιδηροπυρίτη	10
Radautal (Harz) Γερμανίας	Σὲ γαββροπηγματίτη	38
Hundholmen Tysfjord Νορβηγίας	Σὲ γρανιτοπηγματίτη	60
Falun Σουηδίας	Πνευματολυτικὸς ἐπαφῆς	100
Λαύριον	» »	135
Sulitelma Νορβηγίας	Υδροθερμ. ὑψηλῆς θερμοκρασίας	379
Boliden Σουηδίας	» » »	839
Thale (Harz) Γερμανίας	Μεσοθερμικὸς σχηματισμὸς	5318
Kisbanya Ούγγαρίας	Ἐπιθερμικὸς	24011

μικτοῦ τύπου α+β ποὺ ἀνάλογα μὲ τὴν ἐπικράτηση τῆς μιᾶς ἢ τῆς ἄλλης μορφῆς παρουσιάζουν μεγάλη ἢ μικρὴ μαγνητικὴ ἐπιδεκτικότητα καὶ ξεχωρίζουν μαγνητικὰ ἀπὸ τὸν ἄλλους γιατὶ ἐμφανίζουν δύο σημεῖα Curie τὸ ἔνα στοὺς 280° C καὶ τὸ ἄλλο στοὺς 320° C καὶ μικροσκοπικὰ ἀπὸ τὴν ἐμφάνιση λαμπτερῶν ταινιῶν (8).  
Ψηφιακή Βιβλιοθήκη "Θεόφραστος" - Τμήμα Γεωλογίας. Α.Π.Θ.

"Επειτα ἀπ' αὐτὰ μποροῦμε νὰ ποῦμε ὅτι ὁ μαγνητοπυρίτης τῆς Πλάκας βγῆκε σὰν αὐτοτελές ὄχυκτὸ ἀπὸ τὸ μάγμα ὅπως καὶ τὰ ἄλλα θειούχα ὄχυκτὰ τοῦ Λαυρίου μὲ τὴ διαφορὰ ὅτι αὐτὸς σχηματίσθηκε πιὸ κοντὰ στὸ μάγμα δηλαδὴ σὲ ὑψηλὴ θερμακρασία καὶ πίεση (πνευματολυτικὸς σχηματισμός), ἐνῷ τὰ ἄλλα θειούχα μακρυὰ ἀπὸ τὸ μάγμα, δηλαδὴ σὲ χαμηλότερη θερμακρασία καὶ πίεση ἀπ' ὅτι ὁ μαγνητοπυρίτης (ὑδροθερμικά).

Σὲ σχετικὰ ὑψηλὴ θερμοκρασία σχηματίσθηκε ὁ μαῦρος σφαλερίτης τῆς Πλάκας πὸν περιέχει σίδηρο (μαργαρίτης) (17, 145), ὡστε νὰ μπορῇ νὰ θεωρηθῇ σὰν ὑποθερμικὸς σχηματισμός. Στὴν περίπτωση αὐτὴ ὁ σίδηρος παρουσιάζεται σὲ μορφὴ μαγνητοπυρίτη πὸν βρίσκεται μέσα στὸ σφαλερίτη σὰν στερεὰ διάλυση. Είναι γνωστὸν (Goldschmidt) ὅτι οἱ ἀκτῖνες ἰόντων τοῦ διστρενοῦ σιδήρου καὶ ψευδαργύρου δὲν διαφέρουν μεταξὺ τους καὶ γιὰ τὰ δύο εἶναι 0,85 Å. Ὁπίσης τὰ στοιχεῖα αὐτὰ ἔχουν τὶς ὕδιες περίπου διαμέτρους ἀτόμων, Fe 2,48 Å καὶ Zn 2,66 Å ὡστε σὲ ὑψηλὲς θερμακρασίες νὰ μπορῇ ὁ Fe νὰ ὑποκαταστήσῃ τὸν Zn (3, 83). Τὸ ὕδιο ἴσχυει καὶ γιὰ τὰ στοιχεῖα Ἰνδιο, Γερμάνιο καὶ Κασσίτερο πὸν διαπιστώθησαν σὲ ἐμπλουτισμένο μετάλλευμα σφαλερίτη ἀπὸ τὴν Καυάριζα (17, 159). Καὶ αὐτὰ κατὰ προτίμηση συναντῶνται μέσα στὸ μαῦρο σφαλερίτη. Τούναντίον ὁ σφαλερίτης ἀπὸ τὴν τονεσία Αὐλάκι θὰ πρέπῃ νὰ θεωρηθῇ σὰν ἐπιθερμικὸς σχηματισμός, σὲ θερμακρασία 220° C (17, 159), ἀσφαλῶς σὲ ἄλλη, νεώτερη, φάση μεταλλογενέσεως. Ὁπου συνυπάρχουν μαῦρος καὶ ἀνοικτὸς καστανὸς σφαλερίτης ἔχει θὰ πρόκειται γιὰ δυὸ διαφορετικὰ στάδια τῆς μεταλλοφόρου φάσεως.

## Β. ΚΟΙΤΑΣΜΑΤΟΛΟΓΙΚΕΣ ΠΑΡΑΤΗΡΗΣΕΙΣ ΚΑΙ ΣΥΜΠΕΡΑΣΜΑΤΑ

"Ο μαγνητοπυρίτης δὲν περιορίζεται μονάχα στὴν Πλάκα, ἀλλὰ παρουσιάζεται καὶ σὲ πολλὰ ἄλλα μεταλλοφόρα κοιτάσματα τῆς Λαυρεωτικῆς, ὅπως στὸ Λουτρό, Τραχυγκέρα, Δογάνι, Κάτω Σούνιον κλπ. ὅπου κατὰ τὸν MAPINO (17, 73) εἴναι ἀσχετος ἡ προγενέστερος ἀπὸ τὸ σιδηροπυρίτη. Στὶς θέσεις αὐτὲς ὅπως δείχνει καὶ ἡ παραγένεση ὁ μαγνητοπυρίτης εἶναι ὑδροθερμικός. Ὁ ὕδιος συγγραφεὺς ἀναφέρει καὶ περιπτώσεις, ὅπου ὁ σιδηροπυρίτης ἔχει προέλθει ἀπὸ μαγνητοπυρίτη (17, 149). Αὐτὸς σημαίνει αὐξῆση τῆς χωριστῆς πιέσεως τοῦ H<sub>2</sub>S μέσα στὶς διαλύσεις, δηλ. προσκόμιση νέων θειούχων διαλύσεων καὶ συνεπῶς σχηματισμὸ ἐκτὸς ἀπὸ τὸν σιδηροπυρίτη καὶ ἄλλων θειούχων ὄχυκτῶν. Ἡ μεγάλη ἔξαπλωση τῆς θειούχας διαπλάσεως στὴ Λαυρεωτικὴ καὶ ἡ ἐδῶ συχνὴ παρουσία τοῦ μαγνητοπυρίτη σύμφωνα μὲ τὰ δεδομένα τῆς βιβλιογραφίας (4, 566), ὅτι ὁ μαγνητοπυρίτης ἔχει τὴ τάση νὰ παρουσιάζεται σὲ κοιτάσματα πὸν συνδέονται μὲ μεγάλη παρατηρούμενη θερμοπαστικατημόνων μέση Αἰγαίου. ἀνάλογα μικρά,

θὰ πρέπη νὰ είναι ἐνδεικτικὸ στοιχεῖο ὅτι ἡ μεταλλοφορία αὐτὴ συνδέεται μὲ τὴν ὑπαρξη κάτω ἀπὸ τὴν Λαυρεωτικὴ ἐνὸς μεγάλου πλουτωνείου σώματος. Γιὰ τὴν ὑπαρξη βαθυλίθου κάτω ἀπὸ τὴν Λαυρεωτικὴ ἔχει ἥδη γράψει ὁ ΜΑΡΙΝΟΣ καὶ μ' αὐτὴ συνδέει μάλιστα τὴ μεταλλοφορία τῆς Λαυρεωτικῆς (**Ι3, Ι4, Ι6 καὶ Ι7**). Τὸ μέγεθος τοῦ βαθυλίθου αὐτοῦ συνάγεται ὅχι μόνο ἀπὸ τὴ μεγάλη ἔκταση τῆς μεταλλοφορίας στὴ Λαυρεωτική, ἀλλὰ καὶ ἀπὸ τὴ μακροχρόνια λειτουργία τῆς, ποὺ θὰ προσπαθήσουμε πιὸ κάτω νὰ δείξουμε.

Ἐφ' ὅσον σύμφωνα μὲ τὰ πάρα πάνω ὁ μαγνητοπυρίτης τῆς Πλάκας, ποὺ βρίσκεται μέσα στὴν ἄλω μεταμορφώσεως δὲν προέκυψε ἀπὸ τὴν μετατροπὴν προϋπάρχοντος σιδηροπυρίτη, τότε θὰ ἀνήκῃ στὴν καθεαυτὸ μεταλλοφορία τοῦ γρανοδιορίτη τῆς Πλάκας, ποὺ σημαίνει ὅτι τὸ σῶμα αὐτὸ ἔκτος ἀπὸ τὸ μαγνητοπυρίτη θὰ ἔδωσε ἀργότερα διάφορα ἀλλα μεταλλοφόρα, φυσικὰ ὑδροθερμικά, προϊόντα. Πραγματικὰ βρέθηκαν τέτοια δρυκτά, ἀλλὰ σὲ μικρὴ ποσότητα κοντὰ στὴ περιοχὴ τοῦ γρανοδιορίτη. Ἐπειδὴ ὅμως τὰ δρυκτὰ αὐτά, γαλνήτης, σφαλερίτης, σιδηροπυρίτης καὶ ὑδροθερμικὸς μαγνητοπυρίτης, βρίσκονται στὴν ἐπαφὴν πλακίτη καὶ ἀνωτέρου μαρμάρου, δηλ. κοντὰ στὸ γρανοδιορίτη, ὁ σιδηροπυρίτης μάλιστα μέσα σ' αὐτὸν (**Ι7, 62**), συνάγεται ὅτι ἡ μεταλλοφορία αὐτὴ ἀνήκει σὲ ὑδροθερμικὴ φάση χαμηλῆς θερμοκρασίας καὶ μάλιστα κάτω ἀπὸ 280° C (ἐδῶ ἀνήκει ἐπίσης καὶ ὁ πεννίνης ποὺ βρίσκεται μέσα στὸ μετάλλευμα τοῦ μαγνητοπυρίτη) καὶ συνεπῶς ὅτι ὁ γρανοδιορίτης τῆς Πλάκας δὲν ἀνέβηκε σὲ ὑψηλὴ θερμοκρασία. Αὐτὸ ἐνισχύει τὴν ἐκδοχὴν ΜΑΡΙΝΟΥ ὅτι ἐδῶ πρόκειται γιὰ ἔνα γρανοδιορίτη ποὺ ἀνέβηκε μεταγενέστερα ἀπὸ τὴν κυρία πτύχωση. Στὴν προκειμένη ὅμως περίπτωση ὁ ὅρος «μετατεκτονικὸς γρανοδιορίτης» δὲν ταιριάζει καὶ θὰ πρέπη ν' ἀντικατασταθῇ μὲ τὸν ὅρο «διψιμοτεκτονικός» Spätorogen, γιατὶ ὁ γρανοδιορίτης τῆς Πλάκας ἀνέβηκε μὲν ἐκεῖ ἐπειτα ἀπὸ τὴν κυρία φάση τῆς ὀρογενέσεως, ἀλλὰ ποὶν τελειώσει ἡ ὀρογένεση δηλ. σὲ ὅψιμο στάδιο αὐτῆς, ὅταν οἱ δυνάμεις τῆς πτυχώσεως εἶχαν πιὰ χαλαρώσει, πιθανώτατα κατὰ τὴν περίοδο τῶν νεοαλπικῶν πτυχώσεων ἐνῷ ὁ βαθύλιθος παλαιότερα, Ὁ SINDOWSKI συνδέει τὴν ἀνοδο τοῦ γρανοδιορίτη τῆς Πλάκας χρονικὰ μὲ τὸ τέλος τῆς αὐστριακῆς φάσεως ὀρογενέσεως μεταξὺ κάτω – καὶ ἀνω – Κρητιδικοῦ ποὺ δὲν εὔσταθεῖ. Τὸ ὅτι ὁ γρανοδιορίτης αὐτὸς δὲν ἦταν ἀρκετὰ νωπὸς καὶ δὲν προκάλεσε ἔντονη μεταμόρφωση συνάγεται καὶ ἀπὸ τὴν ἀπουσία τῶν τυπικῶν ὀρυκτῶν ἐπαφῆς σὲ σχιστολιθικὰ πετρώματα, ὅπως τοῦ σιλλιμανίτη καὶ ἀκόμα τοῦ ἀνδαλουσίτη ποὺ ἀφθονεῖ στὴ μεταμόρφωση ἐπαφῆς Σερίφου (**Ι1 καὶ Ι6**) καὶ ἀπὸ τὴν ἀφθονία ἀλκαλιούχων ἀστρίων στὸν πλακίτη.

Ἐφ' ὅσον λοιπὸν ὁ διψιμοτεκτονικὸς γρανοδιορίτης τῆς Πλάκας ἡταν μεταλλοφόρος, ἡ μεταλλοφορία τοῦ συνορογενετικοῦ βαθυλίθου (**20**) ἀπὸ τὸν ὅποιον προηλθε θὰ συνεχίσθη καὶ στοὺς μετατεκτονικοὺς<sup>1</sup> χρόνους, δηλ. σὲ ἑκατοντάδες χιλιάδες χρόνια. Κατὰ τὸν ΜΑΡΙΝΟ ἡ μεταλλοφορία αὐτὴ

προσέβαλε τὸ Μειόκαινο, πιθανῶς τὸ Ἐλβέτιο (17, 220). Ἡ διείσδυση ἐδῶ τοῦ βαθυλίθου τὸ ἀργότερο ποὺ μπορεῖ νὰ ἔγινε ὅταν στὴν πυρηναϊκὴ φάση ὁρογενέσεως, ὅποτε μένει γιὰ τὴ μεταλλοφορία ἔνα διάστημα ἀπὸ τὸ ἄνω-Ἅωκαινο μέχρι καὶ τὸ Ἐλβέτιο, δηλ. ἀρκετὰ μακρόν. Μιὰ τέτοια ὅμως μακροχρόνια μεταλλοφορία μόνον ἔνας πολὺ μεγάλος βαθύλιθος μπορεῖ νὰ δώσῃ. Ἀνάλογα μὲ τὴν ἡλικία τῶν οργανάτων παρουσιάζονται στὴ Λαυρεωτικὴ διάφορες γενεὲς μεταλλοφορίας μὲ χωριστὰ στάδια σὲ κάθε μιὰ ἀπ' αὐτές. Σὲ γενικὲς γραμμὲς ἡ διαδοχὴ τῆς μεταλλοφορίας εἶναι Fe, Zn, καὶ τελευταῖa Pb, ὧστε χαμηλότερα νὰ βρίσκεται περισσότερος ψευδάργυρος καὶ λιγότερος μόλυβδος, ποὺ ἔρχεται σὲ συμφωνία μὲ τὴν παρατηρηση (17, 160) ὅτι ἡ ἀνάλογία Zn: Pb εἶναι μεγαλύτερη στὴν III ἑπαφὴ Καμάριζας ἀπ' ὅτι στὴν I ἑπαφὴ Πλάκας καὶ Σουνίου, ποὺ δύπως εἶναι γνωστὸ βρίσκονται ψηλότερα ἀπὸ τὴν ἑπαφὴ III δηλαδὴ πιὸ μακρύτερα ἀπὸ τὸ πλουτώνειο σῶμα. Ἡ μεταλλοφορία ἔνδος τέτοιου βαθυλίθου θὰ πρέπη, τούλαχιστον στὴν ὑδροθερμικὴ τῆς φάση, νὰ μὴν περιορίζεται μόνον στὴ Λαυρεωτικὴ ἀλλὰ νὰ ἀκτινοβολῇ σὲ δλόκληρο τὸ μεταμορφωμένο τμῆμα τῆς Ἀττικῆς ἀνάλογα μὲ τὴν ευνοϊκὴ τεκτονικὴ ὀρισμένων τμημάτων τῆς περιοχῆς αὐτῆς. Οἱ σποραδικὲς ἐμφανίσεις μεταλλευμάτων στὸ βόρειο τμῆμα τοῦ Υμηττοῦ, στὸ Πεντελικὸ καὶ στὴ Μακρόνησο, δικαιολογοῦν τὴν ἀποψη αὐτήν. Τούναντίον ἡ μεταλλοφορία τοῦ γρανοδιορίτη τῆς Πλάκας σταμάτησε πολὺ γρήγορα, γιατὶ ἔξι αἰτίας τῆς δύψιμοτεκτονικῆς του θέσεως καὶ τῶν μικρῶν του διαστάσεων στερεοποιήθηκε σύντομα καὶ ἔπι σταύρωσε νὰ τροφοδοτῆται ἀπὸ τὸ βαθύλιθο μὲ ἀποτέλεσμα νὰ στερέψῃ γρήγορα.

Τώρα γενιῶνται φυσικὰ μερικὰ εὔλογα ἐρωτήματα πῶς λ. χ. ἔξηγενται τὸ γεγονός ὅτι ὁ γρανοδιορίτης τοῦ Λαυρίου ὅταν πλούσιος σὲ θειοῦχα ὀρυκτὰ καὶ πτωχὸς σὲ δέξειδια σιδήρου; Ὁ μαγνητίτης σπανίζει ὁ δὲ αἰματίτης ἀποσυστάζει ἐδῶ ἐντελῶς. Ὁ γρανοδιορίτης τῆς Σερίφου παρουσιάζει τὸ ἀντίθετο, δηλ. σὲ ἀφθονία τὰ δέξειδια σιδήρου καὶ περιωρισμένα τὰ θειοῦχα ὀρυκτά. Σύμφωνα μὲ τὴν βιβλιογραφία (3) ποὺ ἀναφέραμε, ὅτι τὰ μικρὰ πλουτώνεια σώματα παρουσιάζουν μικρὴ θειοῦχα μεταλλοφορία, θὰ ἔπειπε ὁ γρανοδιορίτης τῆς Σερίφου, ποὺ σὲ δύκο εἶναι πολὺ μεγαλύτερος ἀπὸ τὸ γρανοδιορίτη Πλάκας νὰ ὅταν πιὸ θειοῦχος ἀπὸ τὸν δεύτερο, πρᾶγμα ποὺ δὲ συνβαίνει. Θὰ πρέπη λοιπὸν νὰ ἔξετασθῇ μήπως αὐτὸ δφείλεται ἀλλοῦ, π. χ. στὴ διαφορετικὴ χημικὴ σύσταση τῶν μεταλλοφόρων διαλύσεων στὶς δύο αὐτὲς περιοχὲς ἢ στὶς διαφορετικὲς σχέσεις συγκεντρώσεως μέσα σ' αὐτὲς δέηγόντων καὶ ὑδροθείου καὶ τὶς χωριστὲς πιέσεις αὐτῶν (27). Ὁπως εἶναι γνωστὸν (21) ὁ μαγνητοπυρίτης σπανίζει σὲ γρανιτικὰ πετρώματα, ἐνῷ ἀφθονεῖ σὲ περιδοτίτες, γάβριθρους καὶ νορίτες δηλ. στὰ βασικὰ πετρώματα, ἐνῷ στὰ δξινα κατὰ προτίμηση παρουσιάζεται σιδηροπυρίτης (27, 242). Ὁ μαγνητοπυρίτης κατὰ κύριον λόγο ἀποβάλλεται σχεδὸν πάντοτε ἔπειτα ἀπὸ τὴ στερεοποίηση τῶν

πυριτικῶν δρυκτῶν καὶ εἶναι περίπου σύγχρονος μὲ τὴν ἔξαλλοίσωση τοῦ αὐγίτη σὲ κεροστίβη καὶ τὴ σερικιτίσωση τῶν ἀστρίων δηλ. στὰ δρια μαγματικοῦ καὶ ὑδροθερμικοῦ σταδίου (21). Σὲ σπάνιες μόνον περιπτώσεις βρίσκει κανεὶς ἴδιομόρφους κρυστάλλους μαγνητοπυρίτη μέσα σὲ νεφελίνη, ἀστρίους, χαλαζία, αὐγίτη καὶ γρανάτη ἐκρηκτιγενῶν πετρωμάτων δπως δολερίτη, γάβριθον, συνήιτη (κοινοῦ καὶ νεφελίνικοῦ). Ἡ τελευταία αὐτὴ παρατηρηση ἔκανε τὸν RAMDOHR νὰ ὑποθέσῃ, διτὶ διαγνητοπυρίτης στὰ περισσότερα ἐκρηκτιγενῆ πετρώματα κρατιέται σὲ μορφὴ διαλύσεως χάρη στὴν πιο υσία εὐκολοπτητικῶν οὐσιῶν. Ὁ μαγνητοπυρίτης τῆς Πλάκας, δπως εἰπώθηκε προηγούμενα, δὲν προκάλεσε γύρω του ἔντονη μεταμόρφωση πιὸ σημαίνει διτὶ διαγνοδιορίτης αὐτὸς δὲν ἦταν πλούσιος σὲ πιητικὰ ὑλικά. Ἐπομένως ἦταν εὔχολο νὰ ἀποβάλῃ τὸ μαγνητοπυρίτη ποὺ διατηροῦσε ἀκόμα σὰν διάλυση μέσα του. Μήπως λοιπὸν ἡ ἀποβολὴ ἀφθονοῦ μαγνητοπυρίτη ἀπὸ ἕνα γρανοδιορίτη σὰν αὐτὸν τῆς Πλάκας ἀποτελεῖ ἐνδεικτικὸ στοιχεῖο γιὰ τὴν ὑπαρξη στὴν περιοχὴ αὐτὴ μιᾶς πλούσιας μεταλλοφορίας σὲ θειοῦχα δρυκτά; Εἶναι πολὺ πιθανὸν καὶ χρειάζεται ἔξεταση. Θὰ πρέπη ἐδῶ νὰ παραδεχθοῦμε ἀκόμα, διτὶ ἡ στερεοποίηση τοῦ βαθύλιθου τῆς Λαυρεωτικῆς ἔγινε βραδύτατα, διήρκεσε τοῦλάχιστον ὅλη τὴν περίοδο ἀπὸ τὸ ἄνω Ἡώκαινο μέχρι ἄνω Μειόκαινο, δπότε ἔτσι μπόρεσε νὰ ἀποβάλῃ σιγὰ - σιγὰ τὰ πιητικὰ καὶ τὰ μέταλλα ποὺ περιεῖχε καὶ νὰ δώσῃ ἀρκετές φάσεις μεταλλογενέσεως.

Ἡ μεταλλοφορία τῆς Σερίφου ἔχει προέλθει ἀπὸ αὐτὸν τὸν ἴδιο τὸν γρανοδιορίτη τῆς νήσου, ποὺ εἶναι πολὺ μικρότερος σὲ μέγεθος ἀπὸ τὸ βαθύλιθο τῆς Λαυρεωτικῆς, ἐπομένως ἡ διαφορά της ἀπὸ τὴν μεταλλοφορία τοῦ Λαυρίου μπορεῖ νὰ διφεύλεται στὸ διτὶ στὶς περιοχὲς αὐτὲς θὰ ἔδρασαν διαφορετικὲς συνθῆκες κρυστάλλωσεως τοῦ μεταλλοφόρου μάγματος. Ὁ γρανοδιορίτης τῆς Σερίφου στερεοποιήθηκε πιὸ γρήγορα ἀπὸ τὸν βαθύλιθο τοῦ Λαυρίου, σὰν μικρότερος ποὺ ἦταν, καὶ μάλιστα πλησέστερα στὴν ἐπιφάνεια (πορφυριτικὸς ἵστος) ἐπομένως τὰ πιητικὰ ποὺ εἶχε μέσα του θὰ βγῆκαν μὲ γοργὸ ρυθμό, ὥστε οἱ χωριστὲς πιέσεις  $H_2S$  καὶ συγκεντρώσεις δξυγόνου θὰ ἤσαν ἐκεῖ πολὺ διαφορετικὲς ἀπὸ διτὶ στὴν περίπτωση τοῦ Λαυρίου. Ἡ παρουσία τῶν δξειδίων σιδήρου στὴ Σέριφο δεύχνει διτὶ τὸ μάγμα τῆς περιοχῆς αὐτῆς θὰ παρουσίασε τὴν περίοδο στερεοποιήσεως του ἀρκετὰ μεγάλη συγκέντρωση δξυγόνου. Γενικὰ μποροῦμε νὰ ποῦμε ἐδῶ γιὰ τὸ γρανοδιορίτη τῆς Σερίφου, διτὶ τὰ πολλὰ πιητικά του (τὸ  $H_2S$  καὶ  $S$  ὑστεροῦσαν ἀπέναντι στὰ ἄλλα πιητικά) ἐμπόδισαν νὰ ἀποβληθοῦν σὰν θειοῦχα τὰ μέταλλα ποὺ εἶχε διαλυμένα μέσα του, ὥστε σὲ περιωρισμένη μόνο κλίμακα ἔδωσε σουλφίδια (περιοχὴ Μούτουλα). Ἔτσι ἔνα μεγάλο ποσὸν ἀπὸ τὰ μέταλλα  $Pb$ ,  $Zn$ , θὰ τὸ κράτησε σκορπισμένο μέσα μου, ἢ ἔνα μέρος ἀπὸ αὐτὰ θὰ βγῆκε μαζὶ μὲ τὸ μαγνητίτη δχι δμως σὲ μορφὴ θειούχων. Ἔτσι δικαιολογεῖται καὶ ἡ παρουσία μολύβδου (μέση χημικὴ σύσταση  $Pb=0,28\%$ ) ποὺ διαπιστώθηκε στὸ μαγνητικὸ σιδηρο-

μετάλλευμα τῆς περιοχῆς Χαλάρων. Δὲν θὰ ἡταν μάλιστα ἀσκοπό νὰ ἔξετασθῇ, ἃν ἐδῶ ὁ μόλυβδος βρίσκεται μέσα στὸ μόριο τοῦ μαγνητίτη ἢ ἀποτελεῖ πυριτικὸ ἄλας, γιατὶ τὸ θειάφι ποὺ περιέχει τὸ σιδηρομετάλλευμα Χαλάρων ( $SO_3=0,55\%$ ) ἔχει ὅλο δεσμευθῆ μὲ χαλκὸ καὶ σίδηρο σὲ μιορφὴ χαλκοπυρίτη καὶ σιδηροπυρίτη. Γιὰ τὴν παρουσία ψευδαργύρου στὸ σιδηρομετάλλευμα αὐτὸ τῆς Σερίφου δὲν ὑπάρχουν στοιχεῖα, πάντως εἶναι κάτι ποὺ πρέπει νὰ ἀναμένουμε, γιατὶ ὁ ψευδάργυρος μπορεῖ εὐκολα νὰ ὑποκαταστήσῃ τὸ δισθενῆ σίδηρο ἀφοῦ καὶ τὰ δυὸ στοιχεῖα ἔχουν ἵσες ἀκτῖνες ἰόντων. Δὲν πρόκειται ἐδῶ νὰ ἐπεκταθοῦμε σὲ ὅλα τὰ ὅρυκτὰ τῆς Σερίφου θὰ ἡταν ὅμως ἐνδιαφέρο νὰ ἔξετασθοῦν λεπτομερέστερα μερικὰ ἀπ' αὐτά, π. χ. ἡ προέλευση τοῦ σερπεντίνη στὰ μάρμαρα τῆς ζώνης ἐπαφῆς τοῦ γρανοδιορίτη.

Θὰ πρέπη νὰ ὑποθέσουμε ἀκόμη ὅτι ὁ πλουτωνίτης τῆς Σερίφου διέφερε κάπως στὴ χημικὴ σύσταση ἀπὸ τὸ βαθύλιθο τοῦ Λαυρίου, γιατὶ σὰν μικρὸς πλουτωνίτης προέρχεται ἀπὸ τὸ ἀνώτερο τμῆμα βαθυλίθου τοῦ διποίου ἢ χημικὴ σύσταση ἀλλοιώθηκε αἰσθητὰ ὅταν διείσδυσε μέσα στὰ ξήματα τοῦ γεωσυγκλίνου καὶ δὲν μπορεῖ φυσικὰ νὰ ἀνταποχρίνεται στὴ μέση χημικὴ σύσταση τοῦ βαθυλίθου. Πάντως καὶ στὶς δυὸ περιοχὲς τὰ μεταλλοφόρα πλουτώνεια σώματα δὲν πρέπει νὰ παρουσίαζαν μεγάλη διαφορὰ στὴ χημικὴ τους σύσταση γιατὶ καὶ στὴ μεταλλοφορία τοῦ Λαυρίου συμμετέχει μὲ μεγάλο ποσοστὸ ὁ σίδηρος, δύπος φαίνεται ἀπὸ τὴν ἀφθονία σουλφιδίων σιδήρου, μαγνητοπυρίτη καὶ πρὸ πάντων σιδηροπυρίτη, στὴν περιοχὴ αὐτὴ καὶ ἴδιαίτερα στὴν Πλάκα καὶ Διψέλιζα (2, 16). Ἐντίθετα ἀπουσιάζει ὁ βιορίτης, δρυκτὸ πλούσιο σὲ χαλκὸ καὶ φτωχὸ σὲ σίδηρο, ποὺ σχηματίζεται ὅπου δὲν ὑπάρχει ἐπάρκεια σιδήρου, ἔχει δὲ παρατηρηθῆ μιὰ ἀντιπάθεια μεταξὺ βιορίτη καὶ μαγνητοπυρίτη. Ἀναλογία στὶς μεταλλογενετικὲς συνθῆκες μεταξὺ Σερίφου καὶ Λαυρίου ἀναφέρει καὶ ὁ ΚΤΕΝΑΣ (12), θεωρεῖ μάλιστα τὸ μικρὸ κοίτασμα μαγνητίτη βιορίτης ποὺ συνοδεύεται ἀπὸ ἀδρομερεῖς γρανατίτες σὰν κοίτασμα ἐπαφῆς.

Τὸ νὰ ἔδωσε ὁ γρανοδιορίτης τῆς Σερίφου ἐκτὸς ἀπὸ τὴ γνωστὴ θειοῦχα μεταλλοφορία τοῦ Μούτουλα καὶ ἄλλη πιὸ πλούσια, σὲ ὑδροθερμικὴ φάση, ποὺ σήμερα νὰ μὴ βρίσκεται λόγω ἐντατικῆς διαβρώσεως τμήματος τῆς περιοχῆς αὐτῆς, δὲν φαίνεται πιθανό. Πολὺ πιθανότερο εἶναι ὅτι ἡ μεταλλοφορία τῆς Σερίφου περιωρίσθηκε στὰ ὅξειδια σιδήρου ἔξι αἰτίας τῶν διαφορετικῶν συνθηκῶν κρυσταλλώσεως τοῦ ἐδῶ μάγματος ποὺ καθωρίσθησαν ἀπὸ τὸ μικρὸ μέγεθος τοῦ μεταλλοφόρου πλουτωνείου σώματος δηλ. τοῦ γρανοδιορίτη, τὴ χωρογραφικὴ του θέση καὶ τὸν πρώτην χωρισμό του δηλ. παύση τροφοδοτήσεως ἀπὸ τὸ βαθύτερα κείμενο μεγάλο πλουτώνειο σῶμα, τὸν βαθύλιθο. Ἡ παρουσία στὴν ἄλλω μεταμορφώσεως τοῦ γρανοδιορίτη τῆς Σερίφου τῶν δρυκτῶν βολλαστονίτη (9), ἀρχετοῦ ἀνδαλουσίτη, ἡ ἀφθονία διοψιδίου, ὅχι ὅμως ἔδειμβεργίτη καὶ γρανατῶν,

γροσσούλαρίου καὶ λίγου διμως ἀνδραδίτη (ΙΙ, 99 καὶ 6, 106), ὥστε νὰ συνιστοῦν αὐτὰ ἐδῶ ἐκτεταμένα πετρώματα, διοψιδίτες καὶ γρανατίτες, ἔπισης ἡ ὑπαρξη ἀφθόνου λιεβρίτη, πνευματολυτικοῦ πυριτικοῦ ὅρυχτοῦ μὲ ΟΗ, δείχνουν καθαρὰ διτὶ διγρανοδιορίτης αὐτὸς δὲν ἡταν ἔξαιρετικὰ πολὺ θερμός, πάντως πολὺ πιὸ θερμότερος ἀπὸ τὸ γρανοδιορίτη τῆς Πλάκας καὶ συνεπῶς πιὸ νωπὸς δηλ. πιὸ πλούσιος σὲ πτητικὰ καὶ μὲ κατάλληλες συνθῆκες συγκεντρώσεως τοῦ ὁξυγόνου γιὰ τὴν ἀποβολὴ τοῦ σιδήρου σὲ μορφὴ ὁξείδιων. "Ἡ ἀποβολὴ αὐτὴ τοῦ σιδήρου ἀπὸ τὸ μάγμα ἔγινε δταν ἔψυγε ἀπὸ αὐτὸ δῖνα μεγάλο μέρος τοῦ πυριτικοῦ μαγνησίου καὶ πυριτικοῦ ἀργιλλίου, ποὺ δεσμεύτηκαν ἀπὸ τὰ μάρμαρα καὶ σχημάτισαν διοψίδιο καὶ γροσσούλαριο. "Ετσι θὰ πρέπη νὰ ἔξηγηθῇ καὶ ἡ σύνδεση τοῦ μαγνητίτη μὲ διοψιδίτες καὶ γρανατίτες ποὺ παρατηρήθηκε στὴ Σέριφο (16 καὶ 26) καὶ Λαύριο (12).

Φαίνεται λοιπόν, διτὶ ἡ μεταλλοφορία (θειοῦχα καὶ ὁξείδια σιδήρου) τοῦ Τριτογενοῦς στὴν Ἑλλάδα, συνδέεται κατὰ κύριο λόγο μὲ ὁξεῖνα μάγματα τοῦ αὐτοῦ σχεδὸν τύπου, ποὺ ἀνάλογα μὲ τὶς συνθῆκες στερεοποιήσεως των καὶ τὴ φύση τῶν πετρωμάτων ποὺ τὰ περιβάλλονταν ἔδωσαν ἀλλοῦ περισσότερα θειοῦχα καὶ ἀλλοῦ περισσότερα ὁξείδια σιδήρου ἢ ἀνθρακικὰ ἄλατα αὐτοῦ. Γι' αὐτὸ δὰ ἡταν πολὺ ἐνδιαφέρο νὰ ἔξετασθοῦν ἀπὸ τὴν ἀποψη αὐτὴ δλα τὰ περιμαγματικὰ καὶ ἀπομαγματικὰ κοιτάσματα τῆς περιοχῆς τοῦ Αἰγαίου καὶ πρῶτα ἀν τὰ σιδηρομεταλλεύματα μαγματικῆς προελεύσεως, δπως αὐτὰ τοῦ Γραμματικοῦ, Κέας, Κύθνου καὶ Σίφνου, συνδέονται μὲ μικρὰ πλούτωνεια σώματα ποὺ βρίσκονται στὴν ἵδια τεκτονικὴ γραμμὴ μὲ ΒΔ διεύθυνση, δπως δ μικρὸς πλουτωνίτης τῆς Σερίφου καὶ στερεοποιήθησαν κοντὰ στὴν ἐπιφάνεια δπως αὐτός. Είναι πολὺ πιθανὸν διτὶ ἐδῶ πρόκειται γιὰ γρανοδιορίτες ἀποφύσεις τοῦ ὕδιου μεγάλου γρανιτικοῦ βαθυλίθου. Αὐτὸ συμφωνεῖ μὲ τὴν ἀποψη ΚΤΕΝΑ (10) διτὶ ὑπάρχει ἀναλογία στὴ φύση τῶν γρανιτικῶν ἐκρήξεων Ἀττικῆς καὶ Κυκλαδῶν, θὰ πρέπη διμως νὰ ἔξετασθοῦν δλες αὐτές καὶ ἀπὸ κοιτασματολογικὴ ἀποψη καὶ νὰ ἀναζητηθοῦν οἱ παραγόντες ποὺ καθώρισαν τὸ είδος μεταλλογένεσεως ἴδιαίτερα σὲ κάθε ἔνα ἀπὸ τὰ πλούτωνεια σώματα Αἰγαίου. "Ετσι θὰ μπορέσουν νὰ βγοῦν ἀργότερα πολλὰ πρακτικὰ συμπεράσματα γιὰ τὴν κοιτασματολογία τῶν Ἑλληνικῶν περιοχῶν.

### ZUSAMMENFASSUNG

Aus den magnetischen Messungen auf Magnetkies - Proben aus Plaka - Laurion bei verschiedenen Temperaturen geht heraus, dass dieses Mineral dem a-Typus von Magnetkiesen gehört, die bei hoher Temperatur entstanden sind. Der Magnetkies aus Laurion ist schwach magnetisch mit einem CP bei 280° C. Bei Erhitzung zeigt er magnetische Umwandlungen und bekommt ferromagnetische Eigenschaften. Βιβλιοθήκη "Θεόφραστος" - Τμήμα Γεωλογίας. Α.Π.Θ.

schaften, die er auch später nach der Abkühlung behält. Seiner Suszeptibilität nach (Tafel I) stellt er sich in die Mitte zwischen dem Magnetkies von Falun (pneumatolytische Bildung) und dem Magnetkies von Sulitelma (hoch hydrothermale Bild.). Seine Paragenese-es tritt hier nur Kupferkies auf und fehlen fast völlig Bleiglanz, Zinkblende und Pyrit-lässt nicht den Magnetkies aus Plaka als eine hydrothermale Bildung betrachten, die durch eine nachträgliche Erhitzung an Schwefel verarmt und dabei in die paramagnetische Form des Magnetkies übergegangen ist. Dies alles und seine Lage um den Granodiorit von Plaka herum sprechen wohl für eine kontaktpneumatolytische Bildung.

Demnach ist die Auffassung, dass der Magnetkies aus Plaka-Laurion durch Dissoziation eines, vor der Intrusion des Granodiorits dort vorhandenen, Pyrits entstanden sei, nicht mehr berechtigt. Außerdem schliesst die Stärke dieses Materials von etwa 10 Meter in Plaka eine solche Bildungsart vollkommen aus. Die erzmikroskopische Untersuchung des neben dem Magnetkies vorhandenen und dem Pyrit ähnlichen Minerals hat weiter gezeigt, dass es kein Pyrit ist, der infolge seiner grösseren Entfernung von dem Granodiorit nicht in Magnetkies übergegangen ist, sondern dass es ein Zwischenprodukt ist, das sich bei der Verwitterung des Magnetkieses bildet, wobei ein Teil des Eisens weggeführt, und dadurch das Verwitterungsprodukt des Magnetkieses an Schwefel angereichert ist. Von magnetischem Standpunkt aus, entspricht dieses Produkt dem ferromagnetischen Typ von Magnetiesen (Fig. 1), mit einem CP bei 325°C.

Der Magnetkies aus Plaka - Laurion, wie es aus den magnetischen Messungen zu entnehmen ist, wurde nach seiner Bildung nicht mehr bis auf 280° C (CP) wiedererhitzt, sonst müsste er die ferromagnetischen Eigenschaften der b-Form des Magnetkieses aufweisen. Dies deutet darauf hin, dass er keine vor der Intrusion des Granodiorits vorhandene Bildung sein kann. Es ist auch denkbar, dass dieser Granodiorit nicht recht heiss während seiner Intrusion und dabei sehr arm an leichtflüchtige Substanzen gewesen ist, sodass er mit Recht als eine spätogenen Intrusion gedeutet wurde. So erklärt sich das Fehlen von typischen in Schiefern Kontaktmineralien, wie Sillimanit, und Andalusit, das letzte Mineral kommt reichlich in Seriphos vor, und das Auftreten von Alkalifeldspäte in dem Hornfels von Plaka.

Die über dem Lavriotiki - Gebiet verbreitete sulfidische Vererzung und das Auftreten hier des Magnetkieses auch in der hydrothermalen Phasen lassen vermuten, dass die Erzbildung von Lavriotiki nicht mit dem kleinen Granodiorit - Pluton von Plaka, sondern

mit einem viel grösseren und älteren Pluton, Bathylith, in Zusammenhang steht, was schon von anderen Autoren angenommen wurde. Die Intrusion des Granodiorits in die Glimmerschiefer bei Plaka erfolgte mit einer jungalpidischen orogenen Phase. Nachträglich wurde das Gebiet von Lavriotiki noch von einer anderen schwächeren orogenen Phase betroffen, wodurch die Kontaktschiefer z. T. in Brezien zerfallen sind.

Der Verfasser vertritt die Ansicht, dass der Plaka - Granodiorit aus einem sehr grossen synorogenen Bathylith entstammt ist, der schwefelreich gewesen ist, und dessen Erstarrung sehr langsam vor sich gegangen ist (wenigstens von ob. Eozän bis Helvet). Diese enorme Dauer der Erstarrung gab die Möglichkeit einer starken Erzausscheidung im Gebiet von Lavriotiki, das durch die starke tektonische Beanspruchung ein sehr reiches Kluftsystem bekommen hat, welches sehr günstig für den Mineralabsatz gewesen war. Die Mineralisation gliedert sich hier in verschiedenen Generationen und Phasen je nach dem Alter der Sprünge und Klüfte, an die sie gebunden ist, und die Erze «Blende - Pyrite - Galène» sind aszendant-hydrothermaler Natur. Die Ausscheidungsfolge ist Fe, Zn, Pb, so dass das Verhältnis Zn/Pb nach der Tiefe hin, d. h. näher zu dem Magma, grössere Werte bekommt. Es sei hier noch eine Phase mit schwarzer, eisenreicher, typisch hochtemperierter Zinkblende bei Plaka und Kamarisa erwähnt, die seltenen Spurenelemente, Indium und Germanium, wie auch Zinn enthält.

Die Erzausscheidung soll sich nicht nur auf dem Gebiet von Ost - Lavriotiki beschränkt haben, wo sie bevorzugt vor sich gegangen ist, sondern wird sie sich, wenn auch in geringerem Ausmasse, über andere noch Gebiete des Metamorphikums von Attika ausbreiten, die tektonisch-lagerstättenkundlich noch nicht eingehend untersucht worden sind. Der Magnetkies von Plaka verdankt seine Bildung dem Granodiorit dieses Gebiets, der nicht in einem so warmen Zustand wie in Seriphos und mit wenigen leichtflüchtigen Substanzen aufgestiegen ist. Es erhebt sich hier die Frage, ob die reichliche Magnetkiesausscheidung von einem Granodiorit auf eine reiche sulfidische Erzbildung hindeutet.

Der mächtige Granodioritkörper von Insel Seriphos ist im Gegensatz zu dem kleinen Granodiorit von Plaka durch eine reiche oxydische Eisenerzbildung, aber schwache sulfidische Erzbildung, gekennzeichnet. Die Hauptvererzung besteht aus Magnetit unter ausgedehnter Diopsid- und Granat- (Grossular-) Verskarnung des Nebengesteins. Daneben tritt auch reichlich Andalusit und Lievrit und gelegentlich Wollastonit auf. Granat und Diopsid sind so verbreitet, Ψηφιακή Βιβλιοθήκη "Θεόφραστος" - Τμήμα Γεωλογίας. Α.Π.Θ.

dass sie stellenweise richtige Granat- und Diopsid- Felse bauen. Als Erzbringer ist in Seriphos der Granodiorit selbst zu betrachten. Die schnelle Erstarrung dieses Magmas (porphyritische Struktur) und die Anwesenheit leichtflüchtiger Substanzen haben vermutlich gegen die Ausscheidung von Sulfiden bewirkt. Der Granodiorit von Seriphos kommt aus den oberen Partien eines tiefer vorhandenen Bathyliths her, deren chemische Zusammensetzung bei seiner Abkühlung verändert wurde. Sonst sind beide Magmen eisenreich gewesen, da in Laurion viel Magnetkies, und besonders sehr viel Pyrit auftritt; dagegen kommt hier kein Bornit vor.

Es scheint hier, dass die tertiäre Erzbildung im ägäischen Gebiet an ein saueres Erzmagma gebunden ist, das je nach den lokalen Verhältnissen seiner Erstarrung und dem Wert der partialen S - Drucke und der Konzentrationen des Sauerstoffes hier zu einer reichen Sulfid- dort zu einer überwiegend reichen Eisenoxyd - Ausscheidung oder Karbonatbildung kam. Die Bildung der Eisenoxyde wurde hier durch die frühere Ausscheidung von Mg - und Al - Silikaten bedingt, die an Karbonate (Kalke) gebunden sind (Diopsid und Grossular - Bildung). Es steht zu erwarten, was die Untersuchung der anderen perimagmatischen und apomagmatischen Erzlägestätten des ägäischen Gebiets von diesem Standpunkt aus herausbringen wird. Besonders wichtig ist die Frage, ob die Eisenerzlägestätten magmatischer Abfolge (Grammatikon, Kea, Kythnos und Siphnos) genetisch mit kleinen Plutonen verknüpft sind, die auf derselben Störungslinie von NNW- Richtung liegen, wie es der Fall mit dem Pluton von Seriphos ist.

## B I B L A I O Γ Ρ Α Φ Ι Α

1. ALLEN-CRENSHAW-JOHNSTON — Die mineralischen Eisensulfide. *Zt. f. anorg. Chem.*, 76 (1912) 209—273.
2. ΑΡΓΥΡΟΠΟΥΛΟΣ, Ορ. — Ἐκθεσις περὶ τῶν μεταλλοφόρων κοιτασμάτων τοῦ Δαυρίου. *Γεωλ. Αναγνωρίσεις*. № 24. Ι.Γ.Ε.Υ. Ἀθῆναι, 1955.
3. EDWARDS, B. A. — Textures of the Ore Minerals, Melbourne 1954.
4. GILBERT, G. — The significance of hematite in certain ores deposits. *Econ. Geol.* 21 1926 p. 560.
5. > > — The Antipathy of Bornite und Pyrrhotite. *Econ. Geol.* 20, 1925, 364—370.
6. HEZNER, L. — Petrographische Untersuchung der kristallinen Schiefer auf der Südseite des St. Gotthard, *N. J. Min.* 27, 1909, 117.

7. KISKYRAS, D. —Einige Bemerkungen über die magnetischen Eigenschaften der Mineralien des Systems FeS—FeS<sub>2</sub>. *Beiträge zur angewandten Geophysik*, Bd. 10, 1943, S. 308—311.
8. > > —Untersuchungen der magnetischen Eigenschaften des Magnetkieses bei verschiedenen Temperaturen in besonderem Hinblick auf seine Entstehung. *N. J. f. Min.* Bd. 80, (Abt. A 1950). S. 287—342.
9. KΤΕΝΑΣ, C. —Les phénomènes métamorphiques à l'île de Sériphos. *C. R.* 158, p. 720.
10. > > —Sur les relations pétrographiques existant entre l'île de Sériphos et les formations environnantes. *C. R.* 158, 878.
11. ΚΤΕΝΑΣ, K. —Ἐρευναι περὶ τῆς μεταλλογενείας τῆς Ν.Δ. Αιγαίδος. *Ἐπιστ.* Ἐπετηρίδις Παν/μενου Ἀθηνῶν, 13, 85—133, Ἀθῆναι 1917.
12. > > —Ἐκθεσις περὶ τῶν κατὰ τὰ ἔτη 1928 καὶ 1929 γενομένων γεωλογικῶν ἐρευνῶν. *Πρακτ.* Ἀκαδ. Ἀθηνῶν, 5, (1930) 92.
13. ΜΑΡΙΝΟΣ, Γ. —Νεώτεραι γεωλογικαὶ καὶ πετρολογικαὶ ἐρευναι ἐπὶ τοῦ γρανίτου τῆς Πλάκας τῆς Λαυρεωτικῆς. *Πρακτ.* Ἀκαδ. Ἀθηνῶν. 12, 1937.
14. > > —Ο Γρανίτης τῆς Πλάκας τῆς Λαυρεωτικῆς καὶ ἡ πέριξ αὐτοῦ μεταμόρφωσις ἐξ ἐπαφῆς, Διδ. Διατρ. Ἀθῆναι 1937.
15. MARINOS, G. —The ores of Lead and Zink in Greece. *Int. Geol. Congr.* 1948
16. ΜΑΡΙΝΟΣ, Γ. —Γεωλογία καὶ μεταλλογένεια τῆς νήσου Σερίφου. *Δημοσιεύμ.* Ινστιτούτου Γεωλ. 1, Ἀθῆναι 1951, 95—127.
17. ΜΑΡΙΝΟΣ, Γ. καὶ PETRASCHNECK, E. W. «Τὸ Λαύριον», Ἀθῆναι, 1957.
18. ΜΟΕΗΛΜΑΝ, S. R. —Econ. Geol. 30 1936, 750—764.
19. MAUCHER, A. —Über die Kieslagerstätte der Grube «Bayerland» bei Waldsassen. *Zt. angew. Min.* 1939, 218.
20. PUTZER, H. —Die Erzlagerstätten von Laurion. *Ann. géol. pays Hell.* 2, 1948, 16—46.
21. RAMDOHR, P. —Die Erzminerallien in gewöhnlichen magmatischen Gesteinen. *Abh. Preuss. Ak. Wiss.* 1940. Math. nat. Kl. Nr. 2.
22. > > —Die Erzminerallien und ihre Verwaschungen, Berlin 1951.
23. SCHNEIDERHÖHN—RAMDOHR. —Lehrbuch der Erzmikroskopie, II, Berlin, 1931.
24. SINDOWSKI, H. K. —Der geologische Bau von Attika. *Ann. geol. pays Hell.* 2, 1949, 163—218
25. VOGT, TH. —Origin of the injected pyrite deposits. *Norges Tekniski Høgskola*, 1935. 594.
26. ΖΑΧΟΣ, Κ. —Γεωμαγνητικὴ ἐρευνα στὴ νῆσο Σέριφο. Γεωλογικαὶ καὶ γεωφυσικαὶ μελέται, Τομ. 1, Ὑπουργ. Συντονισμοῦ Ἀθῆναι, 1951.
27. ΜΠΕΤΕΞΤΙΝ, A. —Βασικὰ προβλήματα γιὰ τὴ γνώση τῶν μαγματικῶν κοιτασμάτων (Στὰ ρωσικά. *Ἐκδόσεις Ἀκαδ. Ἐπιστημῶν CCCP*). Μόσχα, 1955.